

การรังสีกับการบอกรความสัมพันธ์ของฟันกรามล่างซี่ก์สาม กับคลองเส้นประสาทอินฟีเรียร์อัลวีโอล่าร์

Radiographic Assessment of the Relationship between Lower Third Molar and the Inferior Alveolar Canal

ภัตตารานันท์ มาหะสันติปิยะ
ภาควิชาทันตแพทยศาสตร์ คณะทันตแพทยศาสตร์ มหาวิทยาลัยเชียงใหม่
Phattaranant Mahasantipya

Department of Oral Radiology, Faculty of Dentistry, Chiang Mai University

ชม.ทันตสาร 2551; 29(2) : 61-69
CM Dent J 2008; 29(2) : 61-69

บทคัดย่อ

ภาวะแทรกซ้อนหลังการผ่าตัดฟันกรามล่างซี่ที่สามที่ฝังคุดสามารถพบได้หลายแบบ และหนึ่งในนั้นคือการได้รับบาดเจ็บของเส้นประสาทอินฟีเรียร์อัลวีโอล่าร์ ซึ่งอาจแสดงอาการได้ตั้งแต่มีการรู้สึกสัมผัสเพียงไปปั๊วหวานถึงการสูญเสียการรับความรู้สึกไปอย่างถาวร เพื่อที่จะป้องกันการเกิดอันตรายดังกล่าวจำเป็นจะต้องมีการประเมินตำแหน่งที่ถูกต้องของคลองเส้นประสาทอินฟีเรียร์อัลวีโอล่าร์ก่อนการผ่าตัด และการตรวจโดยภาพรังสีเทคนิคต่างๆ เป็นวิธีที่จะบอกรความสัมพันธ์ของฟันกรามล่างซี่ที่สามกับคลองเส้นประสาทอินฟีเรียร์อัลวีโอล่าร์ได้ บททบทวนวรรณกรรมนี้ได้กล่าวถึงลักษณะทางภาพรังสีของคลองเส้นประสาทอินฟีเรียร์อัลวีโอล่าร์ การใช้ภาพรังสีแพนออรามาและภาพรังสีโทโมแกรมในการบอกรความสัมพันธ์ของฟันกรามล่างซี่ที่สามกับคลองเส้นประสาทอินฟีเรียร์อัลวีโอล่าร์ รวมถึงการเลือกใช้เทคนิคการถ่ายภาพรังสีที่เหมาะสมในทางปฏิบัติ

คำนำรัศส: ความรู้สึกสัมผัสเพียง คลองเส้นประสาท อินฟีเรียร์อัลวีโอล่าร์ การถ่ายภาพรังสีโทโมแกรม

Abstract

Many complications have been reported following the removal of lower third molars. Inferior alveolar nerve injury is one of those, and symptoms may range from temporary sensory alterations to paresthesia. To prevent this damage, pre-operative localization of the inferior alveolar nerve is necessary, and a radiographic examination is known as a modality to reveal how close of the inferior alveolar canal to the root of the lower third molar impaction. Various radiographic techniques have been applied for investigation. This article reviews radiographic features of the inferior alveolar canal and the use of panoramic and tomography in assessing the relationship between the inferior alveolar canal and the roots of third molars. Prescription of radiographic techniques in clinical use is also discussed.

Keywords: Paresthesia, Inferior alveolar canal, Tomography



บทนำ

การได้รับบาดเจ็บของเส้นประสาಥินไฟเรียร์อัลวิโอล่าร์ (inferior alveolar nerve) นับเป็นหนึ่งในภาวะแทรกซ้อนของการผ่าตัดฟันคุดที่เป็นพื้นกรามล่างซึ่งสามารถที่สามารถพบได้โดยเฉพาะอย่างยิ่งกรณีที่ฟันฟังคุดอยู่ลึกและหากฟันนั้นอยู่ใกล้ชิดคลองเส้นประสาท รายงานอุบัติการณ์การเกิดอันตรายดังกล่าวซึ่งถูกรายงานเป็นครั้งแรกตั้งแต่ปีค.ศ.1970 พบรดีตั้งแต่ร้อยละ 0.4-5.5^(1,2) และผลจากการถูกทำลายของเส้นประสาಥินไฟเรียร์อัลวิโอล่าร์จากการผ่าตัดฟันคุด พบว่าหากเส้นประสาทถูกทำอันตรายไม่มากผู้ป่วยอาจเกิดอาการชา หรือการรับความรู้สึกที่บริเวณเหือกข้างเดียวและรอบริมฝีปากล่างเปลี่ยนไปช้ำครัว แต่หากเส้นประสาทถูกทำลายไปมากอาจส่งผลให้มีการชาหรือการรับความรู้สึกที่บริเวณดังกล่าวเปลี่ยนไปอย่างถาวร^(3,4) มีบางการศึกษา^(5,6) ที่ได้อธิบายถึงเหตุการณ์ดังกล่าวว่า ในกรณีที่มีการทำอันตรายไม่มากนั้นจะเกิดภาวะอุดตันของเส้นเลือดอินไฟเรียร์อัลวิโอล่าร์ซึ่งอยู่ติดกันกับเส้นประสาทและทำให้เกิดภาวะบวมน้ำภายในเซลล์ประสาทของเส้นประสาಥินไฟเรียร์อัลวิโอล่าร์ได้และส่งผลให้มีการชาและการรับความรู้สึกที่เปลี่ยนไป แต่หากภาวะบวมน้ำดังกล่าวเกิดอยู่นานจะเกิดการทำลายไม้อลีน (Myelin) ในบริเวณนั้นและส่งผลให้มีการชาและการรับความรู้สึกเปลี่ยนไปเกิดเป็นพยาธิสภาพที่ถาวร ดังนั้นการพยายามที่จะทราบถึงความสมพันธ์ของพื้นกรามล่างซึ่งสุดท้ายกับคลองเส้นประสาಥินไฟเรียร์อัลวิโอล่าร์จึงเป็นสิ่งจำเป็นอย่างยิ่งก่อนการผ่าตัด เพื่อทันตแพทย์ผู้ทำการผ่าตัดจะได้กระทำการผ่าตัดอย่างระมัดระวังที่สุด และอาจจะกล่าวได้ว่าภาพรังสีเป็นวิธีการตรวจวินิจฉัยที่จะให้ข้อมูลดังกล่าวได้

โดยบทความนี้จะกล่าวถึงลักษณะของคลองเส้นประสาಥินไฟเรียร์อัลวิโอล่าร์ที่เห็นได้จากภาพรังสี และทบทวนวรรณกรรมการใช้ภาพรังสีแพนอรามา (panoramic radiograph) และภาพรังสีโนมแกรมทั้งแบบดั้งเดิม (conventional tomogram) และแบบคอมพิวเตอร์ (computed tomogram) กับการบอกรความสมพันธ์ของพื้นกรามล่างซึ่งสามารถกับคลองเส้นประสาಥินไฟเรียร์อัลวิโอล่าร์

ภาพรังสีของคลองเส้นประสาಥินไฟเรียร์-อัลวิโอล่าร์

โดยปกติแล้วในภาพรังสีจะเห็นคลองเส้นประสาಥินไฟเรียร์อัลวิโอล่าร์ปรากฏเป็นเส้นทึบสี 2 เส้นขนานกันโดยเส้นที่อยู่ด้านบนแสดงถึงขอบบนและเส้นล่างนั้นเป็นขอบล่างของคลองเส้นประสาท ส่วนบริเวณที่อยู่ระหว่างเส้นทึบขาวทั้งสองคือ ทางเดินของเส้นประสาಥินไฟเรียร์อัลวิโอล่าร์และเส้นเลือด โดยเส้นทึบ 2 เส้นดังกล่าวจะทอดตัวจากรูขากรากล่าง (mandibular foramen) ลงมาตามกระดูกขากรากล่าง ต่ำกว่าปลายรากพื้นกรามล่างซึ่งที่หนึ่งและสอง แล้วไปหยุดที่รูเปิดข้างคาง (mental foramen) ซึ่งอยู่ล่างต่อพื้นกรามน้อยซึ่งที่สองโดยประมาณ จากการศึกษาในอดีตของ Olive⁽⁷⁾ ที่ทำการถ่ายภาพรังสีกระดูกขากรากล่างพบว่าประมาณร้อยละ 60 ที่จะสามารถเห็นการปรากฏของคลองเส้นประสาಥินไฟเรียร์อัลวิโอล่าร์ในภาพรังสีตามลักษณะเช่นที่กล่าวมา แต่อีกร้อยละ 40 อาจไม่พบว่ามีเส้นขาวทึบสีดังกล่าวให้เห็นทั้งนี้เนื่องมาจากมีการแผ่กระจายออกนอกคลองเส้นประสาทของเส้นประสาಥินไฟเรียร์อัลวิโอล่าร์และเส้นเลือดไปตลอดแนวดังกล่าว หลังจากนั้นมีการศึกษาของ Carter และ Keen⁽⁸⁾ ที่ศึกษาภาพรังสีของกระดูกขากรากล่างแห้งเช่นกัน ได้กล่าวถึงการเห็นเส้นขาวทึบสีเพียงเส้นล่างเส้นเดียวเนื่องจากเกิดการขาดหายไปของเส้นขาวทึบสีเส้นบนซึ่งมีโอกาสที่จะพบได้ถึงร้อยละ 60 โดยที่มีร้อยละ 14 พบว่าคลองเส้นประสาทอยู่ชิดกับรูเปิดปลายรากพื้นกราม ส่วนการศึกษาของ Norje และคณะ^(9,10) ได้ทำการศึกษาในภาพรังสีแพนอรามาจำนวน 3612 ภาพ เพื่อดูระดับความสูงของคลองเส้นประสาಥินไฟเรียร์อัลวิโอล่าร์ในกระดูกขากรากล่างที่บีบกับกระดับปลายรากพื้นกราม พบว่าร้อยละ 46.7 ของคลองเส้นประสาಥินไฟเรียร์อัลวิโอล่าร์อยู่ระดับเดียวกับรูเปิดปลายรากพื้นกรามล่างซึ่งที่สาม หรืออาจจะอยู่ต่ำกว่าหรือสูงกว่ารูเปิดปลายรากพื้นประมาณไม่เกิน 2 มิลลิเมตร และพบว่าเมื่อเปรียบเทียบกับระดับขอบล่างของกระดูกขากรากล่าง หรืออยู่ระดับ 48.9 ที่คลองเส้นประสาทของเส้นประสาಥินไฟเรียร์อัลวิโอล่าร์อยู่เหนือขอบล่างของกระดูกขากรากล่างไม่เกิน 2 มิลลิเมตร และมีเพียงร้อยละ 3.3 เท่านั้นที่คลองเส้นประสาท



อินฟิเรียร์อัลวิโอล่าร์อยู่กึ่งกลางระหว่างระหว่างทางของรูเปิดปลายรากฟันรามล่างซึ่งที่สามกับขอบล่างของกระดูกขากรรไกรล่าง นอกจานนี้ยังมีการศึกษาที่รายงานถึงการพบการแยกออกเป็น 2 แขนงของคลองเส้นประสาทอินฟิเรียร์อัลวิโอล่าร์ว่าสามารถพบได้ เช่นกัน แต่พบเพียงไม่เกินร้อยละ 1^(11,12)

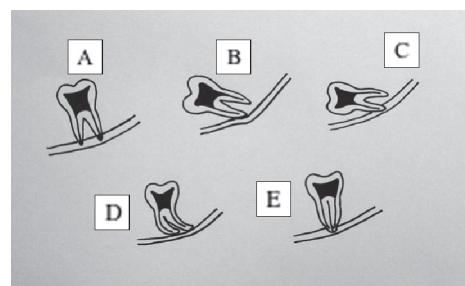
ภาพรังสีแพนอรามา กับการบอกรความสัมพันธ์ของฟันรามล่างซึ่งที่สามกับคลองเส้นประสาಥอินฟิเรียร์อัลวิโอล่าร์

ในอดีตได้มีการศึกษาถึงการใช้เทคนิคการถ่ายภาพรังสีต่างๆ ไม่ว่าจะเป็น เทคนิคการถ่ายรอบปลายรากฟัน (periapical technique) เทคนิคการถ่ายแบบกัดสนบ (occlusal technique) หรือแม้กระทั่งเทคนิคการถ่ายและเทอร์ลอบอบลีค (lateral oblique technique) เพื่อที่จะตอบคำถามถึงความสัมพันธ์ของฟันรามล่างซึ่งที่สามกับคลองเส้นประสาಥอินฟิเรียร์อัลวิโอล่าร์^(13,14) และพบว่า เทคนิคแพรัลแลร์ซ (parallax technique) ของ Clark⁽¹⁵⁾ เป็นที่นิยมมากในช่วงหนึ่ง แต่ต่อมาเมื่อการถ่ายภาพรังสีแพนอรามาเป็นที่นิยมจึงมีการศึกษาถึงความสัมพันธ์ ดังกล่าวอย่างแพร่หลายขึ้น การใช้ภาพรังสีแพนอรามา จะช่วยเปรียบเทียบความลึกของการฟังตัวและแนวการเอียงตัวของฟันคุดเทียบกับฟันซี่ข้างเคียงหรืออวัยวะโดยรอบได้ดีขึ้น รวมทั้งแสดงพยาธิสภาพที่ทำให้เกิดการเปลี่ยนแปลงของเสี้ยนในกระดูกรอบๆ ได้ชัดเจนขึ้น การศึกษาของ Bell และคณะ⁽¹⁶⁾ ได้ระบุรวมถึงลักษณะทางภาพรังสีที่เป็นตัวบ่งชี้แนวโน้มการอยู่ใกล้ชิดกันมากของฟันรามล่างซึ่งที่สามกับคลองเส้นประสาಥอินฟิเรียร์อัลวิโอล่าร์ที่สามารถพบได้จากภาพรังสีแพนอรามา พบร่วมมี 7 ลักษณะ อันได้แก่ 1) การเกิดเงาดำที่รากของฟันในบริเวณคลองเส้นประสาಥอินฟิเรียร์อัลวิโอล่าร์พาดผ่าน 2) การบิดเบี้ยวไปของรากฟันในบริเวณคลองเส้นประสาಥอินฟิเรียร์อัลวิโอล่าร์พาดผ่าน 3) การตีบแคบของรากฟันในบริเวณคลองเส้นประสาಥอินฟิเรียร์อัลวิโอล่าร์พาดผ่าน 4) การเกิดเงาดำและมีลักษณะเหมือนมี 2 รูเปิดปลายรากฟันที่บริเวณคลองเส้นประสาಥอินฟิเรียร์อัลวิโอล่าร์พาดผ่าน 5) การขาดหายไปของเงาขาวของเส้นคลองเส้นประสาಥอินฟิเรียร์อัลวิโอล่าร์เมื่อพาดผ่าน

หากพื้น 6) การบิดเบี้ยวไปของคลองเส้นประสาಥอินฟิเรียร์อัลวิโอล่าร์เมื่อพาดผ่านรากฟัน 7) การตีบแคบของคลองเส้นประสาಥอินฟิเรียร์อัลวิโอล่าร์เมื่อพาดผ่านรากฟัน โดยทั้ง 7 ลักษณะนี้มักกันนำไปเป็นแนวทางในการศึกษาต่อมา แต่การจำแนกถึงลักษณะความสัมพันธ์ของฟันรามล่างซึ่งที่สามกับคลองเส้นประสาಥอินฟิเรียร์อัลวิโอล่าร์ที่สามารถพบได้จากภาพรังสีแพนอรามาที่เป็นที่รู้จักกันและมีผู้ใช้งานถึงมากที่สุด เห็นจะเป็นจากการศึกษาของ Rood⁽⁵⁾ ซึ่งสรุปว่ามีเพียง 5 ลักษณะจาก 7 ลักษณะข้างต้นเท่านั้นที่ทันตแพทย์ควรจะต้องระมัดระวังขณะผ่าตัดอันได้แก่ (รูปที่ 1)

1. การเกิดเงาดำที่รากของฟันในบริเวณคลองเส้นประสาಥอินฟิเรียร์อัลวิโอล่าร์พาดผ่าน (รูป A)
2. การบิดเบี้ยวไปของคลองเส้นประสาಥอินฟิเรียร์อัลวิโอล่าร์เมื่อพาดผ่านรากฟัน (รูป B)
3. การขาดหายไปของเงาขาวของเส้นคลองเส้นประสาಥอินฟิเรียร์อัลวิโอล่าร์เมื่อพาดผ่านรากฟัน (รูป C)
4. การบิดเบี้ยวไปของรากฟันในบริเวณคลองเส้นประสาಥอินฟิเรียร์อัลวิโอล่าร์พาดผ่าน (รูป D)
5. การตีบแคบของคลองเส้นประสาಥอินฟิเรียร์อัลวิโอล่าร์เมื่อพาดผ่านรากฟัน (รูป E)

ยิ่งไปกว่านั้นการศึกษานี้ได้บอกร่วมกันว่ามีเพียงสามลักษณะเท่านั้น อันได้แก่ การบิดเบี้ยวไปของคลองเส้นประสาಥอินฟิเรียร์อัลวิโอล่าร์เมื่อพาดผ่านรากฟัน การเกิดเงาดำที่รากของฟันในบริเวณคลองเส้นประสาಥอินฟิเรียร์อัลวิโอล่าร์พาดผ่าน และ การขาดหายไปของเงาขาวของเส้นคลองเส้นประสาಥอินฟิเรียร์อัลวิโอล่าร์เมื่อพาดผ่านรากฟัน ที่พบว่ามีความสัมพันธ์กับการเกิดอันตรายต่อเส้นประสาทหลังการผ่าตัด ส่วนงานวิจัยของ Monaco⁽¹⁷⁾ ได้เปรียบเทียบลักษณะความสัมพันธ์ของฟันรามล่างซึ่งที่สามกับคลองเส้นประสาಥอินฟิเรียร์อัลวิโอล่าร์ที่สามารถพบได้จากภาพรังสีแพนอรามากับการอยู่ชิดกันของรากฟันกับคลองเส้นประสาಥอินฟิเรียร์อัลวิโอล่าร์ที่เห็นจากภาพโถมแกรมคอมพิวเตอร์แบบตัดขวาง (cross-sectional cut computed tomogram) พบร่วมกับลักษณะจากภาพรังสีแพนอรามาที่พบว่ามีการอยู่ชิดกันของรากฟันกับคลองเส้นประสาಥอินฟิเรียร์อัลวิโอล่าร์ที่เห็นจากภาพโถมแกรมคอมพิวเตอร์แบบตัดขวาง



รูปที่ 1 ได้แก่ แกรมแสดงลักษณะความสัมพันธ์ของฟันและคลองเส้นประสาಥินไฟเรียร์อัลวิโอลาร์ในภาพรังสีแพนอรามาซึ่งได้จากการศึกษาของ Rood⁽⁵⁾ A) การเกิดเงาดำที่รากในบริเวณที่คลองเส้นประสาทพาดผ่าน B) การบิดเบี้ยวของคลองเส้นประสาทเมื่อผ่านรากฟัน C) การขาดหายไปของคลองเส้นประสาทเมื่อผ่านรากฟัน D) การบิดเบี้ยวของรากฟันเมื่อคลองเส้นประสาทพาดผ่าน E) การตีบแคบของรากฟันเมื่อคลองเส้นประสาทพาดผ่าน

Figure 1 A diagram shows closed proximity of the lower third molar roots and the inferior alveolar canal in panoramic radiograph, as described by Rood⁽⁵⁾; A) Radiolucent across the third molar root by the canal; B) Deviation of the inferior alveolar canal; C) Interruption of the white line of the canal; D) Deflection of the third molar roots by the canal; E) Narrowing of the third molar roots.

ได้แก่ 3 ลักษณะคือ 1) การเกิดเงาดำที่รากของฟันในบริเวณคลองเส้นประสาಥินไฟเรียร์อัลวิโอลาร์พาดผ่าน 2) การตีบแคบของคลองเส้นประสาಥินไฟเรียร์อัลวิโอลาร์เมื่อพาดผ่านรากฟัน และ 3) การขาดหายไปของเงาขาวของเส้นคลองเส้นประสาಥินไฟเรียร์อัลวิโอลาร์เมื่อพาดผ่านรากฟันซึ่งสอดคล้องกับผลการศึกษาของ Nakagawa และคณะ⁽¹⁸⁾ ส่วนงานวิจัยของ Maha-santipya และคณะ⁽¹⁹⁾ นั้นยืนยันถึงลักษณะการบิดเบี้ยวไปและการตีบแคบลงของคลองเส้นประสาಥินไฟเรียร์อัลวิโอลาร์เมื่อพาดผ่านรากฟันในภาพรังสีแพนอรามาว่า มีความสัมพันธ์กับการอุดกั้นของรากฟันกับคลองเส้นประสาಥินไฟเรียร์อัลวิโอลาร์ที่เห็นจากภาพトイโมแกรม

คอมพิวเตอร์ และจากการศึกษาของ Maegawa และคณะ⁽²⁰⁾ ซึ่งเปรียบเทียบลักษณะความสัมพันธ์ของฟันกับรากเส้นประสาಥินไฟเรียร์อัลวิโอลาร์ที่สามารถพบได้จากภาพรังสีแพนอรามาเปรียบเทียบกับลักษณะที่เห็นจากภาพトイโมแกรมคอมพิวเตอร์แบบตัดแบ่งหน้าหลัง (coronal cut) และตัดแบ่งข้างขวา (sagittal cut) ได้ผลว่า หากพบว่าจากภาพรังสีแพนอรามาฟันที่ผ่านคุณน้ำมีระดับของรูเปิดหรือความสูงครึ่งหนึ่งของรากฟันอยู่ต่ำกว่าเงาขาวที่เป็นขอบล่างของคลองเส้นประสาಥินไฟเรียร์อัลวิโอลาร์ นั้นแสดงว่ามีความเป็นไปได้สูงที่ฟันคุณน้ำมีอยู่ใกล้ชิดกับเส้นประสาทและในกรณีดังกล่าวควรส่งผู้ป่วยไปตรวจเพิ่มเติมด้วยภาพトイโมแกรมคอมพิวเตอร์ต่อไป โดยสรุปแล้วเนื่องจากภาพถ่ายรังสีแพนอรามานั้นให้ข้อมูลเพียง 2 ระบบ ดังนั้นความสัมพันธ์ของฟันกับรากเส้นประสาทที่สามกับคลองเส้นประสาಥินไฟเรียร์อัลวิโอลาร์ในแนวไกล์แก้มไกล์ลิ้น (bucco-lingual plane) จึงไม่สามารถมองเห็นได้โดยตรงจากภาพรังสี แต่อย่างไรก็ตามจากการศึกษาที่ผ่านมาได้แสดงให้เห็นถึงความน่าเชื่อถือระดับหนึ่งของภาพรังสีแพนอรามาในการที่จะให้ข้อมูลความสัมพันธ์ดังกล่าวโดยนัย แต่หากเทียบกับข้อมูลที่ได้จากการรังสีトイโมแกรมทั้งแบบตั้งเดิมหรือคอมพิวเตอร์แน่นอนว่าความถูกต้องและรายละเอียดบางอย่างนั้นภาพรังสีแพนอรามายังด้อยกว่า อาทิ เช่น ผลกระทบจากการขยายของภาพเนื่องจากวิธีการถ่ายทำให้ฟันคุกที่อยู่ชิดไปทางด้านแผ่นไกล์ลิ้น (lingual plate) ปราภูมิอยู่ในตำแหน่งที่สูงกว่าปกติ หรือ การต้องงอของรากฟันที่ไม่สามารถปราภูมิให้เห็นเนื่องจากอยู่นอกโพกส์ ซึ่งทั้งสองสถานการณ์นี้ทำให้ความถูกต้องของการประเมินความสัมพันธ์ของฟันกับรากเส้นประสาಥินไฟเรียร์อัลวิโอลาร์ลดลงได้⁽²¹⁾

ภาพรังสีトイโมแกรมกับการบอกความสัมพันธ์ของฟันกับรากเส้นประสาทที่สามกับคลองเส้นประสาಥินไฟเรียร์อัลวิโอลาร์

ด้วยวิธีการสร้างภาพที่สลับชับชี้อนกว่าการถ่ายภาพรังสีแพนอรามา จึงเป็นที่เข้าใจกันว่าภาพรังสีトイโมแกรมทั้งที่เป็นแบบตั้งเดิมหรือคอมพิวเตอร์นั้นน่าจะให้



รายละเอียดของแนวการทอดตัวของคลองเส้นประสาท อินฟิเรียร์อัลวิโอล่าร์ในข้ากรไรร์ได้ถูกว่าด้วย อย่างไร ก็ตามมีบางการศึกษา เช่น การศึกษาของ Lindh และ คณะ⁽²²⁾ ซึ่งเปรียบเทียบการใช้ภาพรังสีทोโมแกรมแบบ ดังเดิมกับภาพรังสีแพนอรามาได้สรุปไว้ว่า ในบางบริเวณ การใช้ภาพรังสีทोโมแกรมแบบดังเดิมก็ไม่ได้ให้ข้อมูล เกี่ยวกับตำแหน่งของคลองเส้นประสาಥอินฟิเรียร์อัลวิโอล่าร์ในกระดูกขากรรไกรมากไปกว่าภาพรังสีแพนอรามา โดยภาพรังสีทोโมแกรมแบบดังเดิมให้ข้อมูลดังกล่าวได้ดี กว่าในตำแหน่งที่ห่างจากช่องทางไปด้านหลังประมาณ 1 เซนติเมตร แต่จะไม่แตกต่างจากภาพรังสีแพนอรามา ณ ตำแหน่ง 2 เซนติเมตร ที่อยู่หน้าต่อรูปิดช่องทาง

ภาพรังสีทोโมแกรมชนิดที่จะให้รายละเอียดความ สัมพันธ์ของพื้นผิวในลักษณะที่สามกับคลองเส้นประสาท อินฟิเรียร์อัลวิโอล่าร์ในแนวไอลล์แก้มไอลล์ลินน์ควรจะ เป็นระนาบตัดขวาง (cross-sectional cut) (รูปที่ 2) โดยที่ มีหลายการศึกษา^(20,23-26) ยืนยันถึงความปานเฉื่อยถือของ การใช้ภาพรังสีชนิดดังกล่าวและโดยเฉพาะอย่างยิ่งภาพรังสีทोโมแกรมชนิดคอมพิวเตอร์ซึ่งสามารถสร้างภาพใน หล่ายระนาบจากการถ่ายรังสีเพียงระนาบเดียว ประกอบ กับการที่มีโปรแกรมคอมพิวเตอร์ที่สามารถสร้างภาพ 3 มิติ (three dimensional reconstruction) ได้ จึงทำให้ ภาพรังสีที่ถ่ายด้วยเทคนิคนี้แสดงความสัมพันธ์ของพื้น ผิวที่ผูกคุกับคลองเส้นประสาทได้ จากการศึกษา ของ Liang และคณะ⁽²⁴⁾ ทำการเปรียบเทียบการถ่าย ภาพรังสีทोโมแกรมด้วย 5 เทคนิคที่แตกต่างกันตาม

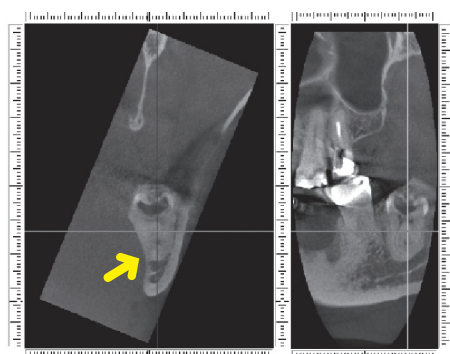
ลักษณะการเคลื่อนของระบบกรังสีพบร่วมกับมีการ เคลื่อนที่ของระบบกรังสีในขณะถ่ายได้ชั้นช้อน เช่น มี การเคลื่อนที่แบบเกลียว (spiral movement) หรือ แบบ ไฮโปไซคลอยดัล (hypocycloidal movement) และมีชั้น ของการถ่ายเพื่อสร้างภาพบางเท่าไหร่ยิ่งจะทำให้ภาพที่ได้มีรายละเอียดดีขึ้น อย่างไรก็ตามการถ่ายภาพรังสี ทोโมแกรมนั้นเป็นที่ทราบกันว่าวนอกจากจะมีราคาค่า บริการและค่าเครื่องถ่ายภาพรังสีเองค่อนข้างสูงแล้ว ผู้ ป่วยเองก็รับปริมาณรังสีต่อการถ่ายหนึ่งครั้งมากกว่าการ ถ่ายภาพรังสีแพนอรามา เช่นกัน แต่ด้วยวิัฒนาการใน ปัจจุบันสามารถทำให้ปริมาณรังสีที่ได้รับจากการถ่าย ภาพรังสีทोโมแกรมคอมพิวเตอร์ลดลง และได้ต่ำกว่าถึง 0.15 มิลลิซีเวิร์ต (millisevert)⁽²¹⁾

การถ่ายภาพรังสีโคนบีมคอมพิวเตอร์ทोโมกราฟี (cone beam computed tomography) เป็นอีกหนึ่งของ วิัฒนาการการถ่ายภาพรังสีทोโมแกรมคอมพิวเตอร์ แตกต่างจากการถ่ายภาพรังสีทोโมแกรมคอมพิวเตอร์ ที่ว่าไปตรงที่ ลำรังสีที่ใช้ถ่ายเพื่อสร้างภาพตัดตามแนน แต่ละครั้งนั้นเป็นลักษณะทรงกรวย (cone shape) และมี ตัวตรวจหาที่เป็นลักษณะแผ่นสีเหลี่ยม (flat panel detector) อยู่ด้านตรงข้าม การเก็บภาพก่อนการประมวล ผลจะไม่ได้เก็บในพื้นที่สีเหลี่ยม (pixel) เช่นการถ่ายภาพรังสีทोโมแกรมคอมพิวเตอร์ที่ว่าไปแต่จะเก็บไว้ในปริมาตร ทรงสีเหลี่ยม (voxel) ทำให้ลำรังสีที่ออกไปแต่ละครั้ง ครอบคลุมรายละเอียดของพื้นที่การถ่ายได้มากและ สามารถลดปริมาณรังสีที่ผู้ป่วยได้รับ ด้วยวิธีดังกล่าว ยัง ทำให้ภาพรังสีโคนบีมคอมพิวเตอร์ทोโมกราฟีมีความสามารถ ในการแยกรายละเอียดของภาพหรือที่เรียกว่า สปาเทียลเรโซลูชัน (spatial resolution) สูงอีกด้วย (รูปที่ 3) ซึ่งสอดคล้องกับในการศึกษา ก่อนหน้านี้ของ Morant และคณะ⁽²⁶⁾ ซึ่งเคยกล่าวถึงการใช้ทูนอะเพอร์เจอร์คอมพิวเตอร์ทोโมกราฟี (tune aperture computed tomography) ชนิดที่ให้ลำรังสีเป็นรูปโคนว่าให้ค่าความ ผิดพลาดในการใช้ลักษณะคลองเส้นประสาಥอินฟิเรียร์ อัลวิโอล่าร์น้อยมากเกือบจะเท่ากับร้อยละ 0 และนอก จกนี้ยังสามารถวัดระยะห่างระหว่างรูปเปิดปลายรากฟัน ภารล่างซึ่งสามกับคลองเส้นประสาಥอินฟิเรียร์อัลวิโอล่าร์ในระนาบไอลล์แก้มไอลล์ลินน์จากภาพรังสีทูนอะเพอร์-



รูปที่ 2 ภาพรังสีทोโมแกรมคอมพิวเตอร์ตัดขวาง แสดงการอยู่/ซิดกันของรากฟันและคลองเส้นประสาಥอินฟิเรียร์อัลวิโอล่าร์ (ครีช)

Figure 2 Cross-sectional cut computed tomography showed closed proximity between roots and inferior dental canal (arrow)



รูปที่ 3 ภาพรังสีคอมพิวเตอร์โถมกราฟฟี แสดงการอยู่ชิดกันของรากฟันและคลองเส้นประสาทอินฟีเรียร์อัลไวโอลาร์ (ครรช.) ภาพซ้ายมือแสดงรูปตัดขวาง (Cross-sectional cut) ส่วนภาพขวา มือแสดงรูปตัดแบบซ้ายขวา (Sagittal cut)

Figure 3 Cone beam computed tomography showed closed proximity between roots and inferior dental canal (arrow) : cross-sectional cut (left) and sagittal cut (right)

เจอร์คคอมพิวเตอร์โน้มกว้าฟฟี่ได้อีกด้วย

ช่วงเวลาไม่นานนี้มีหลายการศึกษา^(21,26-28) ที่ได้ยืนยันถึงการใช้ภาพรังสีโคนบีมคอมพิวเตต์ให้มีกราฟฟี่ว่าสามารถให้รายละเอียดในเรื่องความถูกต้องของความใกล้ชิดของพื้นกระดูกที่สามารถเดินประสาท ข้อพีเรียร์อัลวิโอลาร์ ได้ดีกว่าการถ่ายภาพรังสีแพร์ล-แรกซ์ โดยการศึกษาของ Hashimoto และคณะ⁽²⁷⁾ ได้สรุปว่าภาพรังสีโคนบีมคอมพิวเตต์ให้มีกราฟฟี่ให้รายละเอียดความสมมั่นคงระหว่างรากพื้นกับอวัยวะใกล้เคียงได้ดีกว่า แต่จากการศึกษาของ Holberg และคณะ⁽²⁹⁾ นั้นกลับให้ว่าไม่แตกต่างกัน ส่วนการศึกษาของ Neugebauer และคณะ⁽²⁸⁾ นั้นเปรียบเทียบภาพรังสีโคนบีมคอมพิวเตต์ให้มีกราฟฟี่กับการใช้ภาพรังสีแพร์ลแรกซ์อย่างเดียว และการใช้ภาพรังสีแพร์ลแรกซ์ร่วมกับพิล์มนอกซ่องปาก ในแนวหน้าหลัง (postero-anterior) ให้ผลสรุปว่าภาพรังสีโคนบีมคอมพิวเตต์ให้มีกราฟฟี่ให้รายละเอียดความสมมั่นคงระหว่างรากพื้นกับอวัยวะใกล้เคียงได้ดีกว่า เช่น กัน

แต่ในการศึกษาที่ผ่านมาทั้งหมดนั้นมีเพียงการศึกษาของ Maegawa และคณะ⁽²⁰⁾ กับ Tantanapornkul

และคณะ⁽³⁰⁾ เท่านั้นที่มีการเปรียบเทียบการแปลผลจากภาพพังสีโภโนแกรมคอมพิวเตอร์ทางการแพทย์กับความสัมพันธ์ของพัณฐานล่างซี่ที่สามกับคลองเส้นประสาทอินฟีเรียร์อัลวิโอลาร์ที่เห็นด้วยตามในขณะทำการผ่าตัดโดยในการศึกษาแรกรายงานผลการอ่านภาพพังสีโภโนแกรมคอมพิวเตอร์ว่ามีการอยู่ติดกันของพัณฐานล่างซี่สุดท้ายกับคลองเส้นประสาಥอินฟีเรียร์อัลวิโอลาร์ 23 ซี่แต่ในขณะทำการผ่าตัดพบเพียง 7 ซี่เท่านั้นที่มีความสัมพันธ์ดังกล่าวจริงซึ่งค่าความถูกต้องเทียบได้ประมาณร้อยละ

ส่วนการศึกษาของ Tantanapornkul และคณะ⁽³⁰⁾ นั้นได้อ่านผลภาพรังสีคอมปิวเตอร์เต็มใบไมกราฟฟิพบ์ ว่าภาพรังสีดังกล่าวสามารถใช้ทำนายโอกาสที่จะเปิดเจอด้วยเส้นประสาಥอนฟีเรียร์อัลวิโอลาร์ชันจะทำการผ่าตัดโดยมีค่าความไวในการตรวจ (sensitivity) และความจำเพาะใน การตรวจ (specificity) สูงถึงร้อยละ 93 และ 77 โดย ลำดับ ซึ่งสูงกว่าค่าความไวในการตรวจและความจำเพาะ ในการตรวจของภาพรังสีแพร์ลแรกซึ่งมีค่าเท่ากับ ร้อยละ 70 และ 63 ตามลำดับ อย่างไรก็ตามการศึกษา ดังกล่าวกลุ่มผู้ป่วยที่ถูกน้ำมาม่าผ่าตัดฟันคุดเพื่อดูการเปิด เจอด้วยเส้นประสาಥอนฟีเรียร์อัลวิโอลาร์นั้นมีลักษณะที่ ปรากฏในภาพรังสีแพนอรามาเพียงแบบไดแบบหนึ่งจาก ที่แบบ อันได้แก่ 1) การเกิดเด้าของรากของฟันใน บริเวณคลองเส้นประสาಥอนฟีเรียร์อัลวิโอลาร์พาดผ่าน 2) การตีบแคบลงของรากของฟันในบริเวณคลองเส้น ประสาท อินฟีเรียร์อัลวิโอลาร์พาดผ่าน 3) การขาดหายไปของ根ของเส้นคลองเส้นประสาಥอนฟีเรียร์อัลวิ- โอลาร์ หรือ 4) การบิดเบี้ยวไปของ根ของเส้นคลองเส้นประสาท อินฟีเรียร์อัลวิโอลาร์เมื่อพาดผ่านรากฟัน ส่วนลักษณะอื่นที่เคยมีรายงานไว้ เช่นการตีบแคบของ คลองเส้นประสาಥอนฟีเรียร์อัลวิโอลาร์ หรือการบิดเบี้ยว ของรากฟันในบริเวณคลองเส้นประสาಥอนฟีเรียร์อัลวิ- โอลาร์พาดผ่านนั้นยังไม่พบว่ามีการเปรียบเทียบกับ ลักษณะที่เห็นจากการผ่าตัดจริง

บทวิจารณ์และสรุป

การผ่าตัดพื้นกระดูกที่สามนั้นบีบเป็นงานผ่าตัดในช่องปากที่ทำกันเป็นประจำและโอกาสการเกิด

ภาวะแทรกซ้อนก็สูงเช่นกัน เพราะการผ่าตัดในบริเวณดังกล่าวมีโอกาสทำอันตรายต่อเส้นเลือด เส้นประสาทรวมถึงอาจมีการติดเชื้อถุงลมเข้าสู่ช่องว่างได้จากการไกรได้โดยเฉพาะอย่างยิ่ง พื้นที่รากฟันคุดน้อยใกล้กับคลองเส้นประสาಥอนฟีเรียร์อัลวิโอลาร์กจะทำให้การผ่าตัดนั้นยากยิ่งขึ้น ส่งผลให้หันตแพทย์ผู้ทำการผ่าตัดต้องระมัดระวังมากกว่าเดิม การส่งถ่ายภาพรังสีเพื่อตรวจดูบริเวณดังกล่าวแทนจะเป็นวิธีการเดียวที่จะให้ข้อมูลก่อนการผ่าตัดได้ ภาพรังสีรอบปลายราก ภาพรังสีกัดสบ สามารถบอกได้เพียงระดับความลึกของการผ่านตัว และแนวแกนของฟันคุดเทียบกับฟันซี่ข้างเคียง แต่เมื่อผนวกกับการใช้เทคนิคแพร์ลแแรชซ์ข้อมูลที่จะได้เพิ่มเติมคือฟันคุดนั้นอยู่ค่อนมาทางระหว่างไกล์แก้มหรือไกล์ลินเทียบกับอวัยวะข้างเคียง ส่วนเทคนิคการถ่ายด้วยแลหเทอร์ลอบลีคันนั้นช่วยให้มองเห็นความสัมพันธ์ของฟันคุดกับอวัยวะข้างนั้นทำให้เห็นความสัมพันธ์ของฟันคุดกับคลองเส้นประสาಥอนฟีเรียร์อัลวิโอลาร์กได้มากขึ้น จากการศึกษาที่ผ่านมา มีการจัดประเภทตามลักษณะที่เห็นจากภาพรังสีและพิสูจน์ว่าความสัมพันธ์แบบใดที่มีโอกาสเกิดการทำอันตรายต่อเส้นประสาಥอนฟีเรียร์อัลวิโอลาร์ก ลักษณะ 5 ประการที่สรุปโดย Rood⁽⁵⁾ ได้รับการพิสูจน์จากหลายงานวิจัยว่ามีแนวโน้มของการอุดกั้นของรากฟันกับคลองเส้นประสาท แต่โอกาสเกิดการทำอันตรายต่อเส้นประสาಥอนฟีเรียร์อัลวิโอลาร์กนั้นอาจต้องคำนึงถึงปัจจัยอื่นด้วย^(1-4,6) ส่วนการนำภาพรังสีトイโม-แกรมคอมพิวเตอร์มาใช้นั้นช่วยให้มีการขยายผลข้อมูลยิ่งขึ้น เป็นการเพิ่มความมองเห็นความสัมพันธ์ดังกล่าวใน 3 มิติ และสามารถวัดระยะห่างของปลายรากฟันและคลองเส้นประสาಥอนฟีเรียร์อัลวิโอลาร์กเป็นตัวเลขได้ด้วยรวมถึงมีการปรับคุณภาพของภาพให้เหมาะสมต่อการมองเห็นได้โดยไม่ต้องถ่ายซ้ำ ถือแม้ว่าภาคค่าบริการจะสูง บริมาณรังสีที่ผู้ป่วยจะได้รับสูง แต่หากใช้เป็นการตรวจเพิ่มเติมในกรณีที่ผลการอ่านภาพรังสีแพนอรามาบ่งบอกถึงแนวโน้มการอุดกั้นของรากฟันกับคลองเส้นประสาทก็น่าจะคุ้มค่าและลดความเสี่ยงต่อผู้ป่วย ยิ่งกว่านั้นการเลือกที่จะถ่ายภาพรังสีโดยเครื่อง/cone beam computed tomography ที่มีความแม่นยำและรวดเร็ว

พิวเตอร์ สามารถช่วยลดปริมาณรังสีที่ผู้ป่วยจะได้รับลง อีกทั้งภาพที่ได้นั้นมีความคมชัดขึ้น นับเป็นอีกทางเลือกหนึ่งที่ควรนำมาพิจารณา

กิตติกรรมประกาศ

ขอขอบคุณ ผศ. ท. พญ. สังสม ประภัยสาธก ที่กรุณามาให้คำแนะนำในการเรียบเรียง และอ. ท. พญ. ดร. อภิรุ่ง จันทน์หอม ที่เอื้อเฟื้อภาพรังสี cone beam computed tomography ให้ในการพิมพ์

เอกสารอ้างอิง

1. Rix L. Nerve injuries following the surgical removal of lower third molar teeth. *Ann R Australas Coll Dent Surg* 2000;15: 258-260.
2. Carmichael FA, McGowan DA. Incidence of nerve damage following third molar removal: A West of Scotland Oral Surgery Research Group study. *Br J Oral Maxillofac Surg* 1992; 30: 78-82.
3. Tulloch JF, Antczak AA, Wilkes JW. The application of decision analysis to evaluate the need for extraction of asymptomatic third molars. *J Oral Maxillofac Surg* 1987; 45: 855-865.
4. Tulloch JF, Antczak-Bouckoms AA. Decision analysis in the evaluation of clinical strategies for the management of mandibular third molars. *J Dent Educ* 1987; 51: 652-660.
5. Rood JP. Degrees of injury to the inferior alveolar nerve sustained during the removal of impacted mandibular third molars by the lingual split technique. *Br J Oral Surg* 1983; 21: 103-116.
6. Loescher AR, Smith KG, Robinson PP. Nerve damage and third molar removal. *Dent Update* 2003; 30: 375-380, 82.
7. Oliver E. Le canal dentaire et son neft chez l'adult. *Ann Anat Pathol* 1927; 4: 975-987.
8. Carter RB, Keen EN. The intramandibular course of the inferior alveolar nerve. *J Anat*

- 1971; 108: 433-440.
9. Nortje CJ, Farman AG. The radiographic appearance of the inferior dental canal: an additional variation. *Br J Oral Surg* 1977; 15: 171-172.
 10. Nortje CJ, Farman AG, Grotewall FW. Variations in the normal anatomy of the inferior dental (mandibular) canal: a retrospective study of panoramic radiographs from 3612 routine dental patients. *Br J Oral Surg* 1977; 15: 55-63.
 11. Sanchis JM, Perarrocha M. Bifid mandibular canal. *J Oral Maxillofac Surg* 2003; 61: 422-424.
 12. Langlais R, Broadus R, Glass B. Bifid mandibular canals in panoramic radiographs. *JADA* 1985; 110: 923-926.
 13. Tammisalo T, Happone RP, Tammisalo EH. Stereographic assessment of mandibular canal in relation to the roots of impacted lower third molar using multiprojection narrow beam radiography. *Int J Oral Maxillofac Surg* 1992; 21: 85-89.
 14. Welch JT, Graves RW. Diagnosis, localization, and preoperative consultation for the difficult impaction. *Dent Clin North Am* 1979; 23: 347-358.
 15. Clark CA. A method of ascertaining the relative position of interrupted teeth by means of film radiograph. *Proc R Soc Med (Odont Sec)* 1910; 3: 87-90.
 16. Bell GW, Rodgers JM, Grime RJ, Edwards KL, Hahn MR, Dorman ML, et al. The accuracy of dental panoramic tomographs in determining the root morphology of mandibular third molar teeth before surgery. *Oral Surg Oral Med Oral Pathol Oral Radiol Endod* 2003; 95:119-125.
 17. Monaco G, Montevercchi M, Bonetti GA, Gatto MR, Checchi L. Reliability of panoramic radiography in evaluating the topographic relationship between the mandibular canal and impacted third molars. *JADA* 2004; 135: 312-318.
 18. Nakagawa M, Matsumoto S, Takahashi W, Ishibashi H, Shimano T. Roentgenographic investigation of the mandibular third molar tooth (1st report). *Tohoku Shika Daigaku Gakkai Shi* 1987; 14: 187-194.
 19. Mahasantipyia PM, Savage NW, Monsour PA, Wilson RJ. Narrowing of the inferior dental canal in relation to the lower third molars. *Dentomaxillofac Radiol* 2005; 34: 154-163.
 20. Maegawa H, Sano K, Kitagawa Y, Ogasawara T, et al. Preoperative assessment of the relationship between the mandibular third molar and the mandibular canal by axial computed tomography with coronal and sagittal reconstruction. *Oral Surg Oral Med Oral Pathol Oral Radiol Endod* 2003; 96: 639-646.
 21. Flygare L, Ohman A. Preoperative imaging procedures for lower wisdom teeth removal. *Clin Oral Investig* 2008 (in press).
 22. Lindh C, Petersson A. Radiologic examination for location of the mandibular canal: a comparison between panoramic radiography and conventional tomography. *Int J Oral Maxillofac Implants* 1989; 4: 249-253.
 23. Pawelzik J, Cohnen M, Willers R, Becker J. A comparison of conventional panoramic radiographs with volumetric computed tomography images in the preoperative assessment of impacted mandibular third molars. *J Oral Maxillofac Surg* 2002; 60: 979-784.
 24. Liang H, Tyndall DA, Ludlow JB, Lang LA, Nunn ME. Accuracy of mandibular cross-sectional imaging with tunes-aperture computed tomography (TACT), iteratively

- reconstructed TACT, and multidirectional, linear, and transverse panoramic tomography. *Oral Surg Oral Med Oral Pathol Oral Radiol Endod* 2001; 91: 594-602.
25. Ylikontiola L, Moberg K, Huumonen S, Soikkonen K, Oikarinen K. Comparison of three radiographic methods used to locate the mandibular canal in the buccolingual direction before bilateral sagittal split osteotomy. *Oral Surg Oral Med Oral Pathol Oral Radiol Endod* 2002; 93: 736-742.
 26. Morant RD, Eleazer PD, Scheetz JP, Farman AG. Array-projection geometry and depth discrimination with Tuned-Aperture Computed Tomography for assessing the relationship between tooth roots and the inferior alveolar canal. *Oral Surg Oral Med Oral Pathol Oral Radiol Endod* 2001; 91: 252-259.
 27. Hashimoto K, Arai Y, Iwai K, Araki M, Kawashima S, Terakado M. A comparison of a new limited cone beam computed tomography machine for dental use with a multidetector row helical CT machine. *Oral Surg Oral Med Oral Pathol Oral Radiol Endod* 2003; 95: 371-377.
 28. Neugebauer J, Shirani R, Mischkowski RA, et al. Comparison of cone-beam volumetric imaging and combined plain radiographs for localization of the mandibular canal before removal of impacted lower third molars. *Oral Surg Oral Med Oral Pathol Oral Radiol Endod* 2008; 105: 633-642; discussion 43.
 29. Holberg C, Steinhauer S, Geis P, Rudzki-Janson I. Cone-beam computed tomography in orthodontics: benefits and limitations. *J Orofac Orthop* 2005; 66: 434-444.
 30. Tantanapornkul W, Okouchi K, Fujiwara Y, Yamashiro M, Maruoka Y, Ohbayashi N, et al. A comparative study of cone-beam computed tomography and conventional panoramic radiography in assessing the topographic relationship between the mandibular canal and impacted third molars. *Oral Surg Oral Med Oral Pathol Oral Radiol Endod* 2007; 103: 253-259.

ขอสำเนาบทความที่:

อ.พญ.ภัตตaranant Mahasanti piya, Department of Oral Radiology, Faculty of Dentistry, Chiang Mai University, Chiang Mai 50202

Reprint request:

Dr.Phattaranant Mahasanti piya, Department of Oral Radiology, Faculty of Dentistry, Chiang Mai University, Chiang Mai 50202